

Программный инструментарий анализа информационной структуры алгоритмов по их информационным графикам

В.М.Баканов

Национальный исследовательский университет
"Высшая школа экономики"

Рассматривается реализация программного инструментария для выработки эффективных стратегий преобразования представлений информационных графов алгоритмов с целью как выявления скрытого параллелизма, так и определения рационального плана (расписания) выполнения параллельных частей программ при учете ограничений реальных многопроцессорных вычислительных систем. Для достижения гибкости разработки сценариев преобразований представлений графа используется встроенный скриптовый язык Lua.

Ключевые слова: информационный граф алгоритма, тонкая информационная структура программы, скрытый параллелизм, ярусно-параллельная форма информационного графа, преобразования представления информационного графа, встроенный скриптовый язык программирования Lua, рациональная стратегия построения плана выполнения параллельной программы.

1. Введение

В настоящее время из путей повышения производительности вычислительных систем доступен метод параллелизации обработки данных; иные пути ограничены физическими законами.

Однако параллелизация (фактически одновременное = параллельное выполнение различных частей одной программы на независимо работающих вычислительных блоках) требует от алгоритмистов и программистов дополнительных усилий по выявлению

в алгоритме участков, могущих быть выполненными параллельно; основное требование к таким блокам (*зернам* или *гранулам*) параллелизма состоит в независимости (ортогональности) их по данным.

2. Обзор исследований в данной области

Анализ программ (обычно именуемый исследованием их тонкой информационной структуры, [1]) по такому критерию непрост, поэтому говорят о скрытом (не фиксируемом при поверхностном рассмотрении) параллелизме; мощным инструментом при таком анализе является представление программ графовыми моделями. В России разработкой методов анализа структуры алгоритмов на основе графовых моделей занимались авторы работы [1].

Ситуация усложняется необходимостью рационального использования ресурсов конкретной многопроцессорной вычислительной системы (МВС). Эти ресурсы (число параллельно работающих вычислителей, объемы памяти на каждом и др.) всегда ограничены, поэтому задача планирования использования ресурсов очень важна. Формально это задача распознавания и оптимизации, причем конкретные критерии оптимизации определяются поставленной исследователем целью.

Исследования в данной области обладают практической ценностью для создания эффективных распараллеливающих компиляторов для вычислительных систем архитектуры MIMD (*Multiple Instruction stream - Multiple Data stream*) по М.Флинну [1] при управлении от потока команд (*Instruction Flow*) с выявлением параллелизма на уровне программного обеспечения (собственно *распараллеливающего компилятора*). Имеются изустные сведения об обсуждении и проведении подобных исследований при разработке компиляторов для серии компьютеров Эльбрус в конце 80-х и начале 90-х г.г., и, уж, наверное, проекта Itanium.

Информационный граф алгоритма (вычислительная модель “операторы - операнды”, далее ИГА) суть наиболее простое представление конкретного алгоритма в графовом виде. ИГА описывает исключительно информационные зависимости алгоритма (вершины графа соответствуют отдельным операциям - преобразователям информации (арифметико-логические действия и т.п.); наличие дуги между вершинами i, j говорит о необходимости при выполнении операции j априорного существования аргументов (операндов), выработанных операцией i ; в случае независимости выполнения операций i и j дуга между вершинами отсутствует). Свойства ИГА: ацикличность, направлен-

ность, детерминированность. Конечно, в данном случае термин "операторы" в известной степени условен, ибо под "операторами" можно понимать отдельные независимые по данным последовательности вычислений (*гранулы параллелизма*) любого (желательно приблизительно одинакового) размера.

Существуют и иные формы графового представления алгоритма - напр., с вершинами - распознавателями (это условные операторы, переключатели и др.), которые определяют последовательность срабатывания преобразователей при работе программы [1], однако использование их для моделирования практически возможно лишь для относительно несложных алгоритмов.

Формально процедура выявления параллелизма по информационному графу алгоритма (ИГА) состоит в построении его ярусно-параллельной формы (ЯПФ). Ярусно-Параллельная Форма (ЯПФ, SPF – *Stacked Parallel Form*) информационного графа алгоритма суть форма представления графа, при которой операторы, могущиеся выполняться независимо друг от друга (фактически параллельно) располагаются на одном уровне (ярусе). Представление графа в ЯПФ - одно из наиболее мощных средств выявления скрытого параллелизма в алгоритме. Формально ЯПФ строится на основе ИГА с помощью несложного алгоритма трудоемкостью порядка $O(N^2)$; на рис. 1 приведена ЯПФ графа процедуры вычисления вещественных корней полного квадратного уравнения.

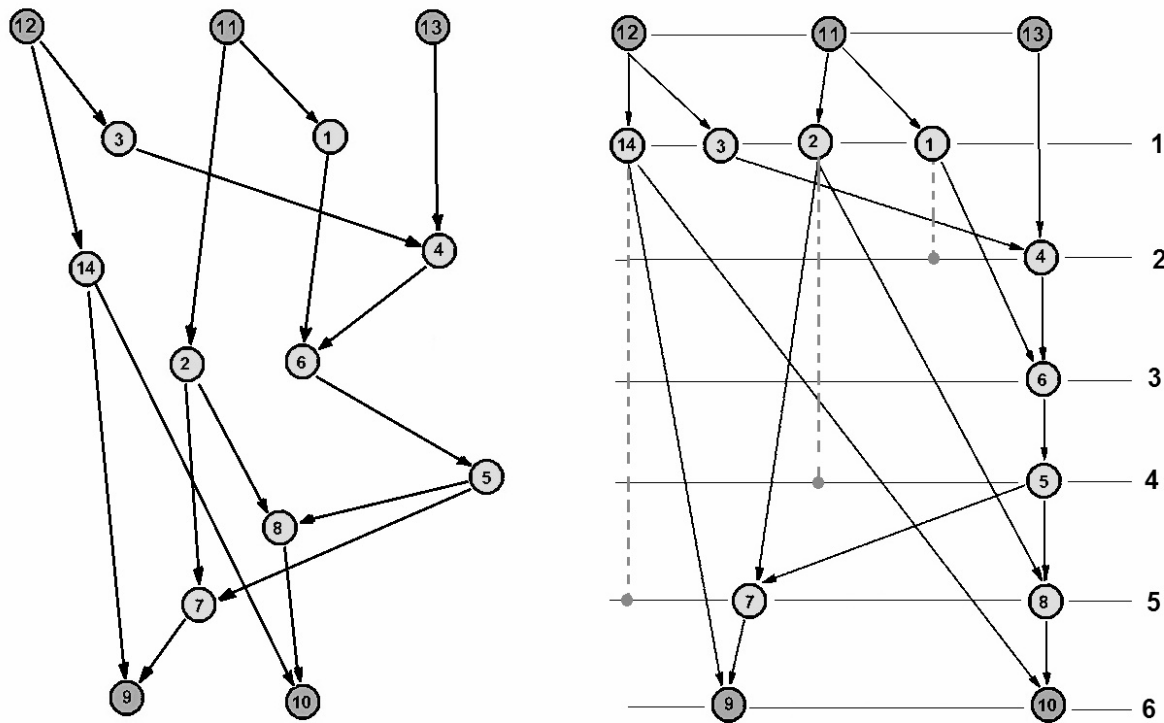


Рис. 1. Информационный граф (см. рисунок слева, общий вид: узлы 11,12,13 - входные данные, 9 и 10 - вычисление выходных данных) и его представление в ЯПФ (справа) процедуры нахождения вещественных корней полного квадратного уравнения (цифры крайние справа - номера ярусов ЯПФ)

Высота ЯПФ (вычисляемая через число ярусов) определяет общее время выполнения алгоритма, ширина ЯПФ – максимальное число задействованных отдельных (параллельно работающих) вычислителей (напр., отдельных ядер процессора) данной МВС.

3. Применяемые при исследовании методы

Реальные ЯПФ информационных графов обладают большой неравномерностью распределения числа операторов по ярусам, при этом использование ресурсов МВС очень нерационально – максимум эффективности использования ресурсов обычно достигается при равномерном (или близком к равномерному) распределении операторов по ярусам.

Однако практически в любом ЯПФ имеется *вариативность* в расположении вершин графа (операторов) между ярусами (перемещение операторов между ярусами ограничивается соблюдением информационных зависимостей операторов в графе; для ЯПФ графа на рис.1 оператор 14 может быть перемещен "вниз" на любой ярус с 2 по 5-й, оператор 2 - на любой ярус с 2 по 4-й, оператор 1 - на ярус 2); возможный диапазон перемещений показан на рис.1 пунктиром. Эта особенность ЯПФ дает возможность оптимизации ЯПФ (в смысле, напр., достижения наибольшей равномерности распределения операторов по ярусам – при этом автоматически достигается максимум использования ресурсов МВС). **Напр., в данном случае возможна "разгрузка" яруса 1 от операторов 14 и 2, в результате приведенная программа может быть выполнена на 2 (вместо 4-х) параллельно работающих вычислителях за то же время.**

Для ИГА большого размера трудоемкость такой оптимизации запредельно велика (задача перестановок с учетом влияния изменения конфигурации ЯПФ после каждой), существующие алгоритмы разбиения графов являются эвристическими (напр., KL-алгоритм [2]). Достижение цели (напр., равномерности распределения операторов по ярусам ЯПФ) возможно с помощью различных стратегий перестановки операторов по ярусам; выбор оптимальной (рациональной) стратегии для ЯПФ различной сложности – практически-полезная задача, имеющая прямое отношение к проблеме эффективного распараллеливания алгоритмов.

Итак, имеем две (*обязательно последовательно выполняемые*) задачи:

- а) Выявление в заданном алгоритме собственно наличие параллелизма (для выполнения этого как нельзя лучше подходит метод представления ИГА в ярусно-параллельной форме).
- б) Планирование параллельного выполнения алгоритма с учетом реалий (ограничений) конкретной МВС.

Ограничения МВС - число параллельно работающих вычислителей, объемы их памяти и др., выполнение программы с учетом этого достигается эквивалентными (не изменяющими информационных зависимостей в графе) преобразованиями ИГА в ЯПФ.

Основные параметры ЯПФ графа (применяются также и иные):

- B - высота ЯПФ графа, определяется количеством ярусов
- H_i – ширина i -того яруса (количество операторов на нем)
- H – ширина ЯПФ графа, определяется максимумом операторов по всем ярусам графа; $H = \max(H_i)$

- \bar{H} – средняя ширина ЯПФ; $\bar{H} = \frac{1}{N} \sum_{i=1}^{i=N} H_i$, N - число ярусов ЯПФ
- $K_i = H_i/\bar{H}$ – степень (коэффициент) заполнения i -того яруса ЯПФ графа
- M_{min} – минимальное количество (параллельно работающих) вычислителей, необходимое для реализации вычислений согласно данного графа; $M_{min} = \max(H_i)$
- $K_{irregular}$ - степень (коэффициент) неравномерности распределения операторов по ярусам ЯПФ графа; $K_{irregular} = \max(H_i)/\min(H_i)$
- $\sigma_H = \sqrt{\frac{1}{N} \sum_{i=1}^{i=N} (H_i - \bar{H})^2}$ - среднеквадратичное отклонение ширин ярусов ЯПФ

Основные постановки оптимизационной задачи (не только возможны, но и полезны комбинации):

- a) Наиболее полная загрузка неизвестного заранее числа параллельно работающих вычислительных узлов имеющейся МВС при минимальном времени выполнения задачи: $K_{irregular} \rightarrow 1,0$ при $B = B_0 = const$ (где B_0 - длина критического пути - минимальная из всех возможных высот у ЯПФ данного ациклического графа).
- b) Наиболее полное использование ресурсов (вычислительных узлов) имеющейся МВС при допущении увеличения времени выполнения: $\max(H_i) \leq M_0$ при $B \geq B_0$ (здесь M_0 - число доступных параллельно работающих вычислителей в заданной МВС); однако желательно $B - B_0 \rightarrow min$ (минимизация времени выполнения). Может быть полезно представить этот процесс как подготовку состоящей из не более чем заданного числа M_0 заведомо независимых (ортогональных) по данным команд для вычислительной системы архитектуры VLIW (*Very Long Instruction Word*) в идеологии EPIC (*Explicitly Parallel Instruction Computing* - микропроцессорная архитектура с явным параллелизмом команд).

По данным [1] поставленная задача выработки рационального расписания выполнения параллельных частей программ относится к классу *NP*-полных (комбинаторная задача с ограничениями). С практической точки зрения необходимо иметь мощный и гибкий аппарат для нахождения приемлемых решений этой задачи (исходя из сказанного приемлемы эвристические методы).

Одной из тенденций современного программирования является использование встраиваемых скриптовых языков (ВСЯ) для расширения возможностей программных комплексов в области сложной обработки данных. Историю собственно скриптовых языков можно проследить с 60-х годов (языки пакетной обработки и языки командных оболочек, используемые чаще всего в пакетном режиме обработки), однако большую

часть прошедшего времени применение их ограничивалось системными проектами (уровень операционных систем), только в последнее время проявляется тенденция использования ВСЯ в программном обеспечении меньшего масштаба.

Встраиваемые скриптовые языки вследствие присущей гибкости описания алгоритмов дают богатые возможности сложного преобразования данных, недоступные традиционными методами (напр., привычными системами организации интерфейса с пользователем - меню, кнопками и др.). В случае ВСЯ разработчик (иногда и квалифицированный пользователь) описывает (обычно при этом вызовы ВСЯ становятся "оберткой" функций API "родительского" приложения, при этом ВСЯ фактически становится предметно-ориентированным языком программирования) необходимые действия на ВСЯ, в дальнейшем "родительское" приложение использует это описание для совершения заданных действий. Успехи в разработке ВСЯ позволили существенно уменьшить размер их кода (часто такие языки поставляются в виде исходных текстов в режиме Open Source), в этом случае при встраивании размер "родительского" приложения возрастает незначительно. В настоящее время известны встраиваемые системы на основе Basic-подобного языка (семейство программ 1С), Java (JavaScript, JScript), Python, Ruby, Tcl, PHP, Perl, REBOL, NewLISP и др.

Недостатками скриптовых языков являются повышенное время исполнения вследствие интепретируемости (идеологема применения этих ВСЯ в качестве "оберток" над вызовами быстрых компилируемых языков эту проблему практически снимает), отсутствие удобной интегрированной среды разработки (IDE) и маркетингового бюджета.

Интересным ВСЯ является Lua, разрабатываемый с 1993 г. в католическом университете Рио-де-Жанейро [3]. Язык Lua является нетипизированным, написан исключительно на ANSI C и полностью Open Source, применяет подход интерпретации исходного текста с промежуточной формой перед выполнением программы, позволяет использовать объектно-ориентированную модель программирования, реализует невытесняющую многонитевость, имеет много стандартных библиотек и пакетов расширений. Язык Lua применен как встроенный при разработке таких приложений, как Adobe Lightroom, Nmap, Word of Warcraft, Stalker и др.

Встроенный скриптовый язык Lua использован при разработке описываемой в данной работе программной системы выявления скрытого параллелизма и составления расписания выполнения параллельных частей программы. Данная программная система написана на языке программирования C++ и является 32-битным приложением Windows (рис. 2); в связи с предполагаемым большим числом вычислений предполага-

ется интегрирование ее в инфраструктуру BOINC (*Berkeley Open Infrastructure for Network Computing*) и расположение на сервере ВУЗ'a.

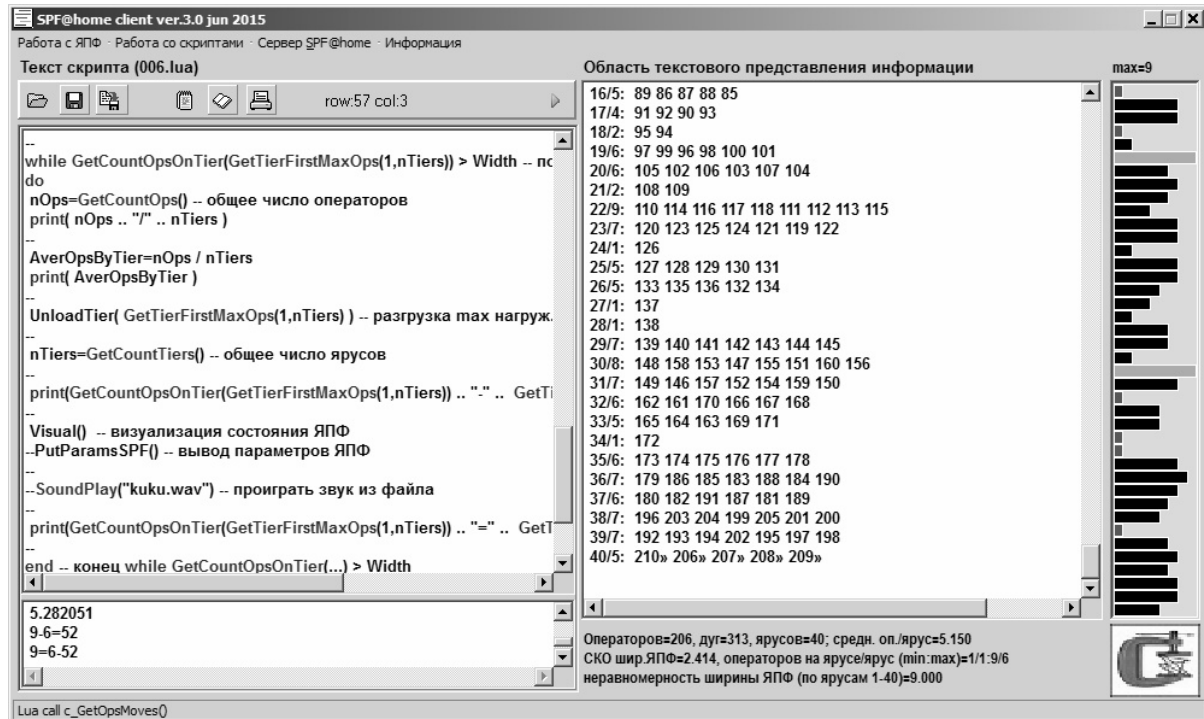


Рис. 2. Главное окно программного модуля выявления скрытого параллелизма и составления расписания выполнения параллельных частей программы

Программный инструментарий (фактически API пользователя) разработанной системы позволяет реализовывать любой из перечисленных критериев оптимизации (а также их комбинации), т.к. выбор критерия осуществляется собственно пользователь (на основе задач, им поставленных). К родственным по тематике с данным проектам можно отнести V-Ray и ПАРУС (оба разработки МГУ им. М.В.Ломоносова, Россия); известны также системы METIS и ParMETIS (университет Миннесоты, 1998-2003), функционал которых для данного случая явно избыточен.

Инструментарий системы включает три типа API-вызовов (всего около 30 штук, причем каждый является Lua-"оберткой", соответствующей С-функции):

- Информационные (служат для получения информации о ИГА и его ЯПФ; именно на основании этих данных принимается решение о применимости одной из стратегий преобразования ЯПФ графа, реализуемой в дальнейшем на языке Lua).

- Акционные (служат для эквивалентных, т.е. не меняющих информационные связи в ИГА, преобразований ЯПФ).
- Вспомогательные (работа с файловой системой и т.п.).

Примерами информационных вызовов являются - получить общее число ярусов ЯПФ, число операторов на заданном ярусе, получить диапазон ярусов для возможного нахождения на них заданного оператора и др., акционных – переместить заданный оператор на конкретный ярус ЯПФ (с учетом ненарушенния информационных зависимостей), создать новый пустой ярус, уничтожить пустой ярус и др. В процессе выполнения акционных функций собственно ИГА не изменяется (т.е. программа остается той же самой) - меняется лишь представление графа (в данном случае - его ЯПФ).

Исходный (и преобразуемый в дальнейшем) информационный график алгоритма может быть получен следующими методами:

- 1) Построен вручную согласно текстовому описанию алгоритма или же представлению его на псевдоязыке или в виде блок-схемы (для вновь разрабатываемых алгоритмов).
- 2) Путем анализа исходного текста программы на одном из традиционных языков программирования (подобные анализаторы существуют, однако зачастую выдают противоречивые результаты).
- 3) Как результат работы программы-графогенератора (преимущество - можно задавать априори определенные параметры ИГА, дающие максимальное его приближение к реальным; однако использование обычно ограничивается тестовыми примерами).
- 4) В случае применения данной системы в качестве компоненты распараллеливающего компилятора наличие ИГА априорно (компилятор при работе производит анализ программы на информационные зависимости - т.е. фактически строит ИГА).

Автор для составления *корректного* ИГА использует программный симулятор вычислителя потоковой (DATA-FLOW) архитектуры [4], в котором программа отлаживается и в дальнейшем экспортится в файловый формат ИГА (список смежных вершин).

Одна из наиболее сложных целей проекта – определение наиболее эффективной стратегии балансировки ярусно-параллельной формы информационного графа алгоритма; здесь под балансировкой понимается равномерность распределения операторов по ярусам ЯПФ. Задача имеет прямое отношение к проблеме эффективного распараллеливания алгоритмов и, в частности, к вопросу наиболее эффективного использования ресурсов МВС. На первой стадии из всех реалий конкретной МВС учитывается только

число параллельных вычислителей, но в перспективе стоят планы учета дополнительных параметров.

В качестве параметра эффективности каждого предложенного решения использовалось число перестановок операторов с яруса на ярус ЯПФ для получения заданного результата.

4. Результаты и их обсуждение

Эффективность обработки данных иллюстрирована табл. 1 (описанная на Lua стратегия балансировки ширин ярусов ИГА без увеличения высоты ЯПФ) и табл. 2,3 (стратегия снижения ширины ЯПФ к заданной величине совместно с балансировкой) для нескольких ИГА различной сложности.

Преобразования ЯПФ выполнены для различных алгоритмов, заданных информационными графиками. Информационные графы slau_2a, slau_3a, slau_5a и slau_10a - решение СЛАУ порядков 2,3,4,5,10 соответственно классическим методом Гаусса, mnk_10 и mnk_20 – линейная аппроксимация по методу наименьших квадратов для 10 и 20 точек, korr_10 и korr_20 – определение коэффициента парной корреляции для 10 и 20 точек, m_matr_5 и m_matr_10 – умножение квадратных матриц порядков 5 и 10 классическим методом.

Стратегия преобразования ЯПФ, с помощью которой получены приведенные в табл. 1 результаты, названа (условно) “Бульдозер” и основана на перемещении операторов с наиболее нагруженных ярусов на недогруженные (так нож бульдозера срезает холмы и сдвигает их материал во впадины); критерий остановки алгоритма – перебор всех операторов, могущих быть перенесенными “с холмов во впадины” с целью балансировки ЯПФ. Табл. 2 и 3 – результат применения стратегии “Бисекция” – наиболее нагруженные ярусы разгружаются путем перенесения половины находящихся на них операторов на вновь образованные ярусы, созданные под данным ярусом; критерий останова – “ужатие” ЯПФ до ширины, не превышающей заданной.

Качество достигнутых преобразований ЯПФ в табл. 1-3 характеризуется безразмерными показателями $I_\sigma = \frac{\sigma_H^{origin}}{\sigma_H^{reformed}}$ и $I_K = \frac{K_{irregular}^{origin}}{K_{irregular}^{reformed}}$, где первый показывает, во сколько раз при применении данной стратегии снизилась величина СКО распределения числа операторов по ярусам, второй - то же по коэффициенту нерегулярности (*original*

и *reformed* - показатели до и после преобразования ЯПФ); трудоемкость преобразования - числом перестановок операторов с яруса на ярус.

Как видно из данных табл. 1-3, описанные (не являющимися излишне изощренными) стратегии в самом деле позволяют достичь требуемого результата (наблюдается снижение неравномерности ширин ЯПФ по ярусам), однако с совершенно разной эффективностью для различных ИГА. В целом наблюдается повышение эффективности стратегии при увеличении сложности (вариативности) ИГА. Особенна интересна и практически важна задача априорного (до проведения собственно преобразований ЯПФ) предсказания уровня их эффективности (задача распознавания). Большего эффекта можно добиться путем совершенствования стратегий и разумного их совместного применения.

Таблица 1. Эффективность применения стратегии балансировки ширины ЯПФ ИГА при неизменной высоте ЯПФ

<i>файл описания ИГА</i>	<i>средняя ширина ЯПФ</i>	<i>показатель I_σ</i>	<i>показатель I_K</i>	<i>число перестановок операторов</i>
<i>число дуг / узлов / ярусов первоначаль- ного ЯПФ</i>				
<i>slau_2a.edg 18/9/7</i>	1,29	1,00	1,00	0
<i>slau_3a.edg 56/28/13</i>	2,15	1,13	1,00	4
<i>slau_5a.edg 230/115/25</i>	4,60	1,06	1,00	13
<i>slau_10a.edg 1610/805/63</i>	12,8	1,05	1,00	81
<i>mnk_10.edg 132/66/16</i>	4,13	1,002	1,00	1
<i>mnk_20.edg 252/126/26</i>	4,85	1,001	1,00	1
<i>korr_10.edg 174/88/15</i>	5,87	1,001	1,00	4

<u>korr_20.edg</u> <u>334/168/25</u>	6,72	1,47	1,41	22
<u>m_matr_5.edg</u> <u>450/225/5</u>	45,0	1,58	1,32	30
<u>m_matr_10.edg</u> <u>3800/1300/10</u>	190	1,97	1,67	407

Таблица 2. Эффективность применения стратегии получения ЯПФ не более заданной ширины совместно с балансировкой ширин ярусов ЯПФ (1)

файл описания ИГА число дуг / узлов / ярусов первоначального ЯПФ	заданная ширина преобразованной ЯПФ <=10			
	возрастание высоты ЯПФ	показатель I_σ	показатель I_K	число перестановок операторов
<u>slau_2a.edg</u> <u>18/9/7</u>	1,00	1,00	1,00	0
<u>slau_3a.edg</u> <u>56/28/13</u>	1,00	1,00	1,00	0
<u>slau_5a.edg</u> <u>230/115/25</u>	1,16	1,80	2,00	32
<u>slau_10a.edg</u> <u>1610/805/63</u>	2,24	8,10	9,00	926
<u>mnk_10.edg</u> <u>132/66/16</u>	1,19	2,99	3,67	21
<u>mnk_20.edg</u> <u>252/126/26</u>	1,19	3,72	4,20	51
<u>korr_10.edg</u> <u>174/88/15</u>	1,20	3,28	4,00	32
<u>korr_20.edg</u> <u>334/168/25</u>	1,28	6,16	7,75	91
<u>m_matr_5.edg</u> <u>450/225/5</u>	6,40	43,3	3,76	342
<u>m_matr_10.edg</u> <u>3800/1300/10</u>	27,2	306	7,52	5232

Таблица 3. Эффективность применения стратегии получения ЯПФ не более заданной

ширины совместно с балансировкой ширин ярусов ЯПФ (2)

файл описания ИГА	заданная ширина преобразованной ЯПФ <=5			
	возрастание высоты ЯПФ	показатель I_σ	показатель I_K	число перестановок операторов
число дуг / узлов / ярусов первоначального ЯПФ				
slau_2a.edg 18/9/7	1,00	1,00	1,00	0
slau_3a.edg 56/28/13	1,15	2,11	2,00	6
slau_5a.edg 230/115/25	1,56	3,99	4,00	70
slau_10a.edg 1610/805/63	3,65	18,9	18,0	1234
mnk_10.edg 132/66/16	1,31	3,74	4,40	27
mnk_20.edg 252/126/26	1,35	6,37	8,40	67
korr_10.edg 174/88/15	1,53	5,96	6,40	51
korr_20.edg 334/168/25	1,64	10,8	12,4	124
m_matr_5.edg 450/225/5	12,8	80,0	3,76	451
m_matr_10.edg 3800/1300/10	54,4	540	7,52	6152

5. Выводы

Предложена программная система (инструментарий) для анализа информационной структуры программ по их представлению в виде информационного графа, позволяющая не только выявлять скрытый параллелизм, но и разрабатывать рациональные расписания выполнения частей параллельных программ с учетом параметров реальных многопроцессорных систем. Исключительно применение встроенного скриптового

языка Lua для реализации стратегий целенаправленного изменения ярусно-параллельной формы графового представления позволило добиться гибкости и эффективности в реализации поставленной цели; это было бы немыслимо иными методами.

На примерах показана действенность данного подхода для решения поставленных задач. Результаты исследований могут быть использованы как для теоретического анализа алгоритмов, так и в практике при разработке эффективных распараллеливающих компиляторов. Опыт показывает эффективность применения данной разработки при усвоении основ параллелизации студентами ВУЗ'ов, при этом естественным образом реализуются разработки исследовательского направления.

Литература

1. Воеводин В.В., Воеводин Вл.В. Параллельные вычисления. — СПб. БХВ-Петербург, 2002. — 608 с.
2. Kernighan B.W., Lin S. An efficient heuristic procedure for partitioning graphs // The Bell System Technical Journal, vol.49, № 2, pp.291-307, feb.1970.
3. Иерузалимски Р. Программирование на языке Lua. — М.: ДМК Пресс, 2014. — 382 с.
4. Баканов В.М. Управление динамикой вычислений в процессорах потоковой архитектуры для различных типов алгоритмов. // ПРОГРАММНАЯ ИНЖЕНЕРИЯ, 2015, № 9, с. 20-24.



**Software analysis tools
information structure algorithms by their
information graphs**

V.M.Bakanov

National Research University
"Higher School of Economics" (HSE)

The realization of software tools for developing effective strategies to transform ideas information graphs algorithms for the purpose of identifying how parallelism, and the definition of management plan (schedule) of parallel parts of the program taking into account the limitations of the real multiprocessor systems. To achieve flexibility in the development of scenarios graph representations of transformations using embedded scripting language Lua.

Keywords: information graph algorithm, the thin structure of the program information, hidden parallelism, parallel-stacked form of the information graph, convert the graph representation of the information, built-in scripting language Lua programming, rational strategy of building plan of the parallel program.

1. Introduction

At the moment of the ways to improve the performance of computing systems available method for data processing parallelization; other ways are limited by physical laws.

However, parallelization (= virtually simultaneous parallel execution of different parts of a program independently operating computing units) requires the algorithmic and programming additional efforts to identify areas in the algorithm that may be executed in parallel; the basic requirement for such blocks (grains or granules) parallelism is independent (orthogonal) of the data.

2. A review of research in this area

Analysis of programs (usually referred to as the study of the fine structure information, [1]) by this criterion is not easy, so talk about a hidden (not captured in the superficial examination) parallelism; a powerful tool for this analysis is to present the graph model programs. In Russia, the development of algorithms for the structure analysis methods based on graph models involved, the authors of [1].

The situation is complicated by the need for rational use of resources specific multiprocessor computer system (MCS). These resources (number of parallel calculators, memory sizes and on each other) are always limited, so the task of planning the use of resources is very important. Formally, it is the problem of recognition and optimization, and optimization of specific criteria set by the researcher defined purpose.

Studies in this area have a practical value for the establishment of effective parallelizing compilers for computer MIMD architecture systems (*Multiple Instruction stream - Multiple Data stream*) for M.Flinn [1] under the control of the instruction stream (*Instruction Flow*) with the identification of parallelism at the software level (parallelizing compiler itself). There is word of mouth information about the discussion and conduct of such studies in the development of a series of compilers for Elbrus computers in the late 80's and early 90-ies, and so probably, the Itanium project.

Information graph algorithm (computational model "operators - operand", then IGA) are the most simple representation of a specific algorithm in the form of graph. IGA information describes exclusively based algorithm (vertices correspond to individual operations - data converters (arithmetic and logical operations, etc.), the presence of an arc between the vertices i, j to the need in step j the existence of a priori arguments (operands), developed the operation i ; in the case of independence of operations i and j arc between vertices is absent). Properties IGA: acyclic, focus, determination. Of course, in this case, the term "operators" to a certain extent conditional, because under the "operators" can be understood separate independent according to the sequence of calculations (parallelism granules) any (preferably approximately the same) size.

There are other forms of graph representation of the algorithm - for example, with tops - resolvers (is conditional operators, switches, etc.), Which define a sequence of operation of the transducers when the program [1], however their use for simulation feasible only for relatively simple algorithms .

Formally, the procedure for identifying parallelism in data graph algorithm (IGA) is to construct its stacked-parallel form (SPF). Stacked-Parallel form algorithm graph form the essence of representation in which the operators, which might be carried out independently of each other (substantially parallel) are located on one level (tier). Presentation of the graph in SPF - one of the most powerful means of identifying parallelism in the algorithm. Formally SPF is based on the IGA using a simple algorithm complexity of order $O(N^2)$; fig. 1 is a graph SPF procedure of calculating the total real roots of a quadratic equation.

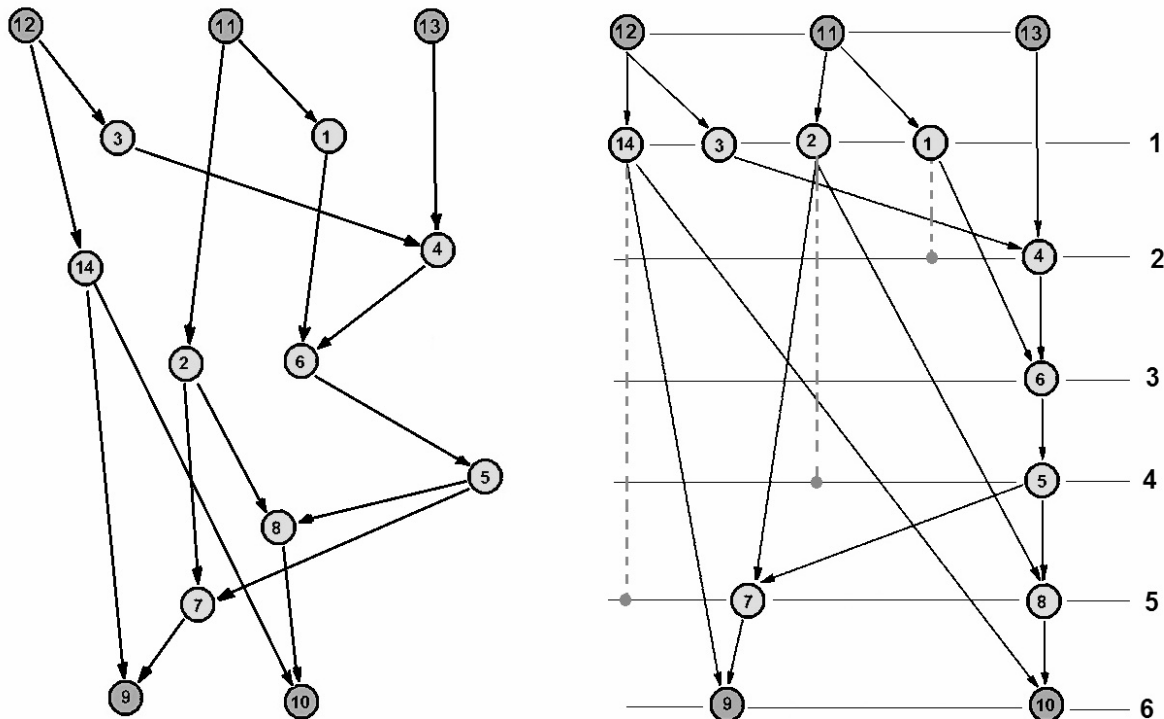


Fig. 1. Information graph (see figure on the left, the general form. Nodes 11,12,13 - input data, 9 and 10 - the calculation of the output) and its representation in SPF (right)
finding the real roots of a quadratic equation procedures complete
(rightmost digits - numbers SPF tiers)

Height SPF (calculated by the number of tiers) determines the total execution time of the algorithm, the width of the SPF - the maximum number of the individual involved (concurrent) calculators (eg, the individual processor cores) of the MCS.

3. Applied research methods

Real SPF information graphs have large uneven distribution of the number of operators on the tiers, with the use of MCS resources very inefficiently - maximum resource efficiency is usually achieved when a uniform (or nearly uniform) distribution operators tiers.

However, almost any SPF has a variation in the arrangement of vertices (operators) between the tiers (moving between tiers of operators is limited to compliance with the information dependencies in the graph of operators, for SPF graph in fig. 1 the operator 14 can be moved "down" at any tier 2 to 5th operator 2 - at any stage 2 to 4, the operator 1 - 2 per line); the possible range of movement is shown in fig. 1 by dotted lines. This feature makes it possible to optimize SPF (in the sense, for example, to achieve the most uniform distribution operators tiers - it will automatically use the maximum of MCS resources). For IGA large labor intensity of such optimization prohibitively high (the problem of permutations based on the impact of changes in configuration after every SPF), the existing partition graph algorithms are heuristics (eg., KL-algorithm [2]). Achieving the goal (eg, operators of distribution uniformity on the tiers of SPF) is possible through a variety of strategies permutation operators tiers; selection of the optimal (rational) strategy for SPF varying complexity - practical and useful task that has a direct bearing on the problem of effective parallelization algorithms.

So, we have two (necessarily sequentially executed) tasks:

- a) Identifying a predetermined algorithm in fact the presence of parallelism (for doing this is the best suited method of presentation in the IGA-stacked parallel form).
- b) Planning of the parallel algorithm execution, taking into account the realities of (limits) of a particular MCS.

Restrictions MCS - the number of parallel solvers, the volume of memory et al., the program to account for this is achieved equivalent (do not change the information in the dependency graph) transformations of the IGA in SPF.

The main parameters of SPF graph (also apply otherwise):

- B - height SPF graph, determined by the number of tiers
- H_i - the width of the i -th tier (the number of operators on it)

- H - width of the SPF graph is determined by the maximum operator for all tiers of the graph; $H = \max(H_i)$
- \bar{H} - average width of SPF; $\bar{H} = \frac{1}{N} \sum_{i=1}^{i=N} H_i$, N - number of layers of SPF
- $K_i = H_i/\bar{H}$ - degree (ratio) filling the i -tier SPF Count
- M_{min} - the minimum number of (concurrent) calculators, necessary for the implementation of the calculations according to the graph; $M_{min} = \max(H_i)$
- $K_{irregular}$ - degree (ratio) uneven distribution operators tiers SPF graph; $K_{irregular} = \max(H_i)/\min(H_i)$
- $\sigma = \sqrt{\frac{1}{N} \sum_{i=1}^{i=N} (H_i - \bar{H})^2}$ - standard deviation widths tiers SPF

The main productions of the optimization problem (not only possible but also useful combination):

- a) The most full load of unknown in advance the number of concurrent computing nodes available at minimum MBC task: $K_{irregular} \rightarrow 1,0$ when $B = B_0 = const$ (where B_0 - the length of the critical path - the lowest of all possible heights of SPF from acyclic graph.).
- b) The most complete use of resources (compute nodes) existing MCS assuming increasing the run time: $\max(H_i) \leq M_0$ at $B \geq B_0$ (here M_0 - the number of available concurrent calculators in a given MCS); however, it is desirable to $B-B_0 \rightarrow min$ (to minimize execution time). It may be useful to think of this process as a preparation consisting of no more than a predetermined number M_0 notoriously independent (orthogonal) according to the commands to the computer system architecture VLIW (*Very Long Instruction Word*) in idelogeme EPIC (*Explicitly Parallel Instruction Computing* - microprocessor architecture with a explicit parallel instruction).

According to [1] posed the problem of rational production schedules of parallel parts of programs belongs to the class of NP-complete (combinatorial problem with restrictions). From a practical point of view it is necessary to have a powerful and flexible device for finding acceptable solutions to this problem (on the basis of the above acceptable heuristics).

One of the trends of modern programming is the use of embedded scripting languages (ESL) to extend the capabilities of software systems in the field of complex data. Ownership

history of scripting languages can be traced back to the '60s (languages batch processing and languages shells, used most often in batch mode), but most of the elapsed time their application was limited to the system project (the level of operating systems), only recently shown ESL tendency to use the software on a smaller scale.

Embedded scripting languages due to the inherent flexibility of describing algorithms provide rich opportunities of complex data transformations unattainable by traditional methods (eg., the usual systems interfacing with the user - menus, buttons, etc.). In the case of ESL the developer (sometimes skilled user) describes the (usually with the challenges of ESL are "wrapper" function API "parent" application, thus all actually becomes object-oriented programming language) the necessary steps to ESL, as the "parent" application It uses this description to perform specified actions. Advances in ESL will significantly reduce the size of the code (such languages are often supplied as source mode Open Source), in this case, the embedding size of the "parent" application increases slightly. At present there are embedded systems based on the Basic-like language (family 1C), Java (JavaScript, JScript), Python, Ruby, Tcl, PHP, Perl, REBOL, NewLISP and others.

The disadvantages of scripting languages is to increase the performance due to interpretation (ideological use of ESL as a "wrapper" on the challenges of fast compiled languages that virtually eliminates the problem), the lack of a convenient integrated development environment (IDE) and a marketing budget.

ESL is interesting Lua, developed in 1993 at the Catholic University of Rio de Janeiro [3]. Lua language is untyped, written entirely in ANSI C and is completely Open Source, uses an approach the interpretation of the source text with the intermediate form prior to execution of the program allows you to use an object-oriented programming model that implements a non-preemptive multi-thread, has a lot of standard libraries and extension packs. Lua language used as a built-in the development of applications such as Adobe Lightroom, Nmap, Word of Warcraft, Stalker and others.

Built-in scripting language Lua is used in the design described in this paper, a software system to identify parallelism and scheduling of parallel parts of the program. This software system is written in C ++ programming language, and is a 32-bit application Windows (fig. 2); in connection with the alleged large number of calculations it is supposed to integrate into the infrastructure BOINC (*Berkeley Open Infrastructure for Network Computing*) and the location on the server university.

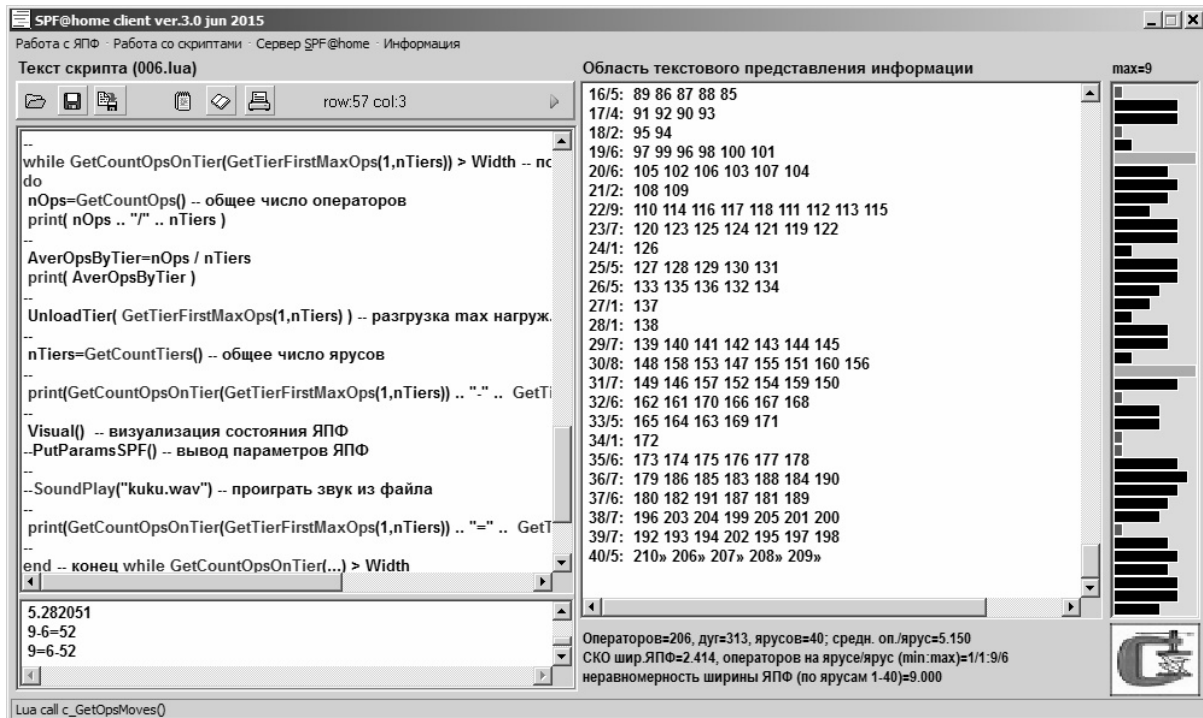


Fig. 2. The main window of the software module to identify parallelism and scheduling of parallel parts of the program

Software tool (actually a user API) developed system allows us to implement any of the optimization criteria (and combinations thereof), as selection criteria operates its own user (based on the tasks assigned to them). By topics related to this project include V-Ray and SAIL (both development MSU, Russia); known as system METIS and ParMETIS (University of Minnesota, 1998-2003), the functionality of which in this case is clearly excessive.

The toolkit includes three types of API-calls (about 30 pieces, each is Lua- "wrapper" according to function):

- Information (used to obtain information about the IGA and SPF; it is on the basis of these data, a decision on the applicability of one of the strategies of the graph transformation SPF implemented in the future in the language Lua).
- Action (serve equivalent, ie do not change the information communication IGA, changes SPF).
- Utilities (work with the file system, etc).

Examples of information and communication challenges are - to get the total number of tiers of SPF, the number of operators in a given tier to receive a range of tiers for a possible finding them given operator et al., promo - move a given operator on a specific tier of SPF (including non-infringement of the information dependencies), to create a new an empty circle to destroy the empty stage, and others. In the process of implementation of the promotional functions properly IGA does not change (ie, the program remains the same) - the only change is a graph representation (in this case - its SPF).

Source (s convertible hereinafter) information graph algorithm can be obtained by the following methods:

- Built by hand according to a text description of the algorithm, or submission to, or as a pseudo-flowchart (for newly developed algorithms).
- By analyzing the source code of the program in one of the traditional programming languages (such as analyzers exist, but often give inconsistent results).
- As a result of the program - generator of graphs (advantage - you can set certain parameters priori IGA, giving it a maximum approximation to the real, but is usually limited to the use of test cases).
- In the case of the use of this system as a component of parallelizing compiler presence IGA priori (compiler at work analyzes program information Depending - that actually builds IGA).

Author to produce correct IGA uses a software simulator calculator stream (DATA-FLOW) architecture [4], in which the program is being debugged and later exported to a file format IGA (adjacency list).

One of the most challenging goals of the project - to determine the most effective strategy for balancing stacked parallel-form information graph algorithm; here refers to a balanced distribution uniformity operators tiers SPF. The problem is directly related to the problem of effective parallelization algorithms and, in particular, to the question of the most efficient use of resources MCS. In the first step of all the realities of the MCS only the number of parallel solvers, but in the long term there are plans to include additional parameters.

As an option the effectiveness of each proposed solution has been used the number of permutations of operators with tier to tier SPF to produce the desired result.

4. Results and discussion

The efficacy data is illustrated in table 1 (described in Lua strategy balancing widths IGA tiers without increasing the height of SPF) and tables 2,3 (SPF strategy to reduce the width to the specified value, together with balancing) for several IGA varying complexity.

Conversion SPF performed various algorithms defined by informational graphs. Information graphs slau_2a, slau_3a, slau_5a and slau_10a - solution of linear algebraic equations order 2,3,4,5,10 respectively, the classical method of Gauss, mnk_10 and mnk_20 - linear approximation by the method of least squares for 10 and 20 points, korr_10 and korr_20 - definition of correlation coefficient for 10 and 20 points, m_matr_5 and m_matr_10 - multiplication of square matrices of order 5 and 10 of the classical method.

Strategy transformation of SPF, by which obtained given in table 1 results called (conditionally) "Bulldozer" and is based on the movement of operators with the most loaded tiers on underused (the bulldozer blade cuts the hills and moves their stuff in the cavity); stopping criterion of the algorithm - through all operators that could be transferred "from the hills into the hollows" with the aim of balancing SPF. Tables 2,3 - the result of applying the strategy "Bisection" - the most loaded longlines unloaded by transferring half of them are operators of the newly formed tiers created under this tier; stopping criterion - "to compact" of SPF to the width does not exceed the specified.

The quality achieved in the transformation of SPF tables 1-3 is characterized by a dimensionless parameters $I_\sigma = \frac{\sigma_H^{origin}}{\sigma_H^{reformed}}$ and $I_K = \frac{K_{irregular}^{origin}}{K_{irregular}^{reformed}}$, where the first shows how many times the application of this strategy has decreased the value of standard deviation of distribution of operators in tiers, the second - the same as the coefficient of irregularity (*original* and *reformed* - indicators before and after the transformation of SPF); the complexity of the conversion - the number of permutations of the operators with tier to tier.

As can be seen from tables 1-3 are described (non-overly sophisticated) in the business strategy can achieve the desired result (a decrease of uneven widths SPF by levels), but with a completely different performance for different ISA. In general, there is increased efficiency strategies with increasing complexity (variability) IGA. Particularly interesting and practically important problem of a priori (before the actual transformation of SPF) predicting the level of their effectiveness (decision problem). Greater effect can be achieved by improving strategies and reasonable their joint application.

Table 1. Efficacy of SPF of IGA width balancing strategy at a constant altitude of SPF

<i>IGA description file</i>	<i>medium width SPF</i>	<i>parameter</i> I_σ	<i>parameter</i> I_K	<i>number of movements of the operators</i>
<i>the number of arcs / nodes / tiers initial SPF</i>				
<u>slau_2a.edg</u> 18/9/7	1,29	1,00	1,00	0
<u>slau_3a.edg</u> 56/28/13	2,15	1,13	1,00	4
<u>slau_5a.edg</u> 230/115/25	4,60	1,06	1,00	13
<u>slau_10a.edg</u> 1610/805/63	12,8	1,05	1,00	81
<u>mnk_10.edg</u> 132/66/16	4,13	1,002	1,00	1
<u>mnk_20.edg</u> 252/126/26	4,85	1,001	1,00	1
<u>korr_10.edg</u> 174/88/15	5,87	1,001	1,00	4
<u>korr_20.edg</u> 334/168/25	6,72	1,47	1,41	22
<u>m_matr_5.edg</u> 450/225/5	45,0	1,58	1,32	30
<u>m_matr_10.edg</u> 3800/1300/10	190	1,97	1,67	407

Table 2. The effectiveness of strategies for SPF of not more than a predetermined width together with balanced widths SPF tiers (1)

<i>IGA description file</i>	<i>specifies the width of the transformed SPF <=10</i>			
	<i>an increase in the height of</i>	<i>parameter</i> I_σ	<i>parameter</i> I_K	<i>number of movements of the op-</i>
<i>the number of arcs /</i>				

<i>nodes / tiers initial SPF</i>	<i>SPF</i>			<i>erators</i>
<u>slau_2a.edg</u> <u>18/9/7</u>	1,00	1,00	1,00	0
<u>slau_3a.edg</u> <u>56/28/13</u>	1,00	1,00	1,00	0
<u>slau_5a.edg</u> <u>230/115/25</u>	1,16	1,80	2,00	32
<u>slau_10a.edg</u> <u>1610/805/63</u>	2,24	8,10	9,00	926
<u>mnk_10.edg</u> <u>132/66/16</u>	1,19	2,99	3,67	21
<u>mnk_20.edg</u> <u>252/126/26</u>	1,19	3,72	4,20	51
<u>korr_10.edg</u> <u>174/88/15</u>	1,20	3,28	4,00	32
<u>korr_20.edg</u> <u>334/168/25</u>	1,28	6,16	7,75	91
<u>m_matr_5.edg</u> <u>450/225/5</u>	6,40	43,3	3,76	342
<u>m_matr_10.edg</u> <u>3800/1300/10</u>	27,2	306	7,52	5232

**Table 3. The effectiveness of strategies for SPF of not more than a predetermined width
together with balanced widths SPF tiers (2)**

<i>IGA description file</i>	<i>specifies the width of the transformed SPF <=5</i>			
	<i>an increase in the height of SPF</i>	<i>parameter I_σ</i>	<i>parameter I_K</i>	<i>number of movements of the operators</i>
<u>slau_2a.edg</u> <u>18/9/7</u>	1,00	1,00	1,00	0
<u>slau_3a.edg</u> <u>56/28/13</u>	1,15	2,11	2,00	6

<u>slau_5a.edg</u> <u>230/115/25</u>	1,56	3,99	4,00	70
<u>slau_10a.edg</u> <u>1610/805/63</u>	3,65	18,9	18,0	1234
<u>mnk_10.edg</u> <u>132/66/16</u>	1,31	3,74	4,40	27
<u>mnk_20.edg</u> <u>252/126/26</u>	1,35	6,37	8,40	67
<u>korr_10.edg</u> <u>174/88/15</u>	1,53	5,96	6,40	51
<u>korr_20.edg</u> <u>334/168/25</u>	1,64	10,8	12,4	124
<u>m_matr_5.edg</u> <u>450/225/5</u>	12,8	80,0	3,76	451
<u>m_matr_10.edg</u> <u>3800/1300/10</u>	54,4	540	7,52	6152

5. Conclusions

A software system (tool) to analyze the structure of an information program on their representation in the form of information graph that allows you not only to identify the hidden parallelism, but also to develop rational schedules performance parts parallel programs within the parameters of the real multiprocessor systems. Exclusively use Lua embedded scripting language to implement strategies focused changes stacked parallel-shaped graph representation possible to achieve flexibility and efficiency in the implementation of goals; it would be unthinkable in other ways.

The example shows the effectiveness of this approach for the task. The research results can be used for theoretical analysis of algorithms, and practice in the development of efficient parallelizing compilers. Experience has shown the effectiveness of this development in mastering the basics of parallelization university students at the same time naturally develop research directions are implemented.

References

1. Voevodin V.V., Voevodin Vl.V. Parallel computing. - SPb.: BHV-Petersburg, 2002. - 608 c.

2. B.W.Kernighan, S.Lin. An efficient heuristic procedure for partitioning graphs. The Bell System Technical Journal, vol.49, № 2, pp.291-307, feb.1970.
3. Ieruzalimski Robert. Programming in Lua. - M.: DMK Press, 2014. - 382 c.
4. Bakanov V.M. Management dynamic computing processors in a streaming architecture for various types of algorithms. // Journal SOFTWARE ENGINEERING, - M.: 2015, number 9, p. 20-24.

Literatura (translit)

1. Voevodin V.V., Voevodin Vl.V. Parallel'nye vychisleniya. — SPb.: BKhV-Peterburg, 2002. — 608 c.
2. B.W.Kernighan, S.Lin. An efficient heuristic procedure for partitioning graphs. The Bell System Technical Journal, vol.49, № 2, pp.291-307, feb.1970.
3. Ieruzalimski Robertu. Programmirovaniye na yazyke Lua. — M.: DMK Press, 2014. — 382 c.
4. Bakanov V.M. Upravlenie dinamikoy vychisleniy v protsessorakh potokovoy arkhitektury dlya razlichnykh tipov algoritmov. // Zhurnal PROGRAMMNAY INZENERIYA, — M.: 2015, № 9, s. 20-24.